

V-78

持続載荷試験後長期間放置したパーシャル PCはりの諸性状

京都大学工学部 学生員○松本利彦 正員 井上 晋 正員 小林和夫
大阪市 正員 生嶋圭二

1.はじめに パーシャルプレストレストコンクリート(PPC)構造は、使用状態の全設計荷重作用下で曲げひびわれを許容するPC構造として定義され、緊張鋼材(PC鋼材)と非緊張鋼材(鉄筋)の断面積比(プレストレスレベル)を変化させることにより自由度の高い断面設計が可能となる。しかし、その設計に際しては、長期間経過後のコンクリートの乾燥収縮・クリープに起因する有効プレストレスの減少ならびにそれにともなう諸耐荷性状の変化を明確にしておく必要がある。本研究は、4年間の持続荷重載荷試験を実施した後に屋内または屋外に約3年間放置したPPCはりの残存プレストレスを実験・理論の両者より推定するとともに、持続荷重荷重レベル、緊張率 λ 、せん断スパン有効高さ比 a/d 等を主要因とした静的載荷試験を実施し、その基本的耐荷性状を短期材令で載荷したPPCはりと比較検討したものである。

2. 試験概要 供試はりの形状・寸法

供試はりの形状・寸法を図1に示す。コンクリートの設計基準強度は 500kgf/cm^2 とし、ほぼ同一の最大曲げ耐力を有するはりに対して、それぞれ緊張率 λ ($=A_p \cdot f_{py} / (A_s \cdot f_{sy} + A_p \cdot f_{py})$)の値を0(RC1), 0.49(PPC1)の2種および0(RC2), 0.35(PPC2), 0.68(PPC3)の3種類とした。またPPC1では、持続荷重荷重レベルを①死荷重(1.56tf), ②死荷重と設計荷重の中間の荷重(2.24tf), ③設計荷重(3.08tf)の3レベル、PPC2では、①死荷重(1.68tf), ③設計荷重(4.38tf)の2レベル、その他のタイプのはりでは③設計荷重のみとした(ただし、ここで用いた設計荷重とは最大ひびわれ幅0.2mmに対応する荷重の計算値である)。なお、すべてのはりには、土木学会PC標準示方書(昭和53年度版)により、せん断補強筋としてスターラップ($\phi 6$)を配置した。

載荷方法は、グループ1では短期材令における載荷試験結果と比較するために $a/d=3.0$ とし、グループ2では $a/d=2.0$ とした対称2点集中載荷とした。供試はりの種類は表1に示すとおりである。

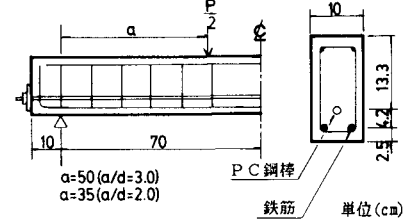


図1 はりの形状・寸法

表1 はりの種類および試験結果

供試体名 ^{①)}	Δs	ΔP	λ	a/d	最大耐力(Tf)			じん性率 ^{②)} (初期材令)
					計算値	実験値	実験値 (初期材令)	
PPC1-①-1	2010	#7.4				8.08	3.91	
PPC1-②-1	2010	#7.4	0.49	0.13	6.20	8.30	7.85, 8.03	4.24
PPC1-③-1	2010	#7.4				8.29		4.23
PPC2-①-1	2013	#7.4				11.50		2.16
PPC2-②-1	2013	#7.4	0.35	0.18	9.05	10.83	11.34, 10.83	2.06
PPC3-③-1	2010	#1.1	0.68	0.22	8.72	11.96	11.49, 11.90	3.02
RC1-①-1	2010	#7.4	— *2)	0	0.13	6.20	7.96	8.25, 8.00
RC2-①-1	2013	#7.4	— *2)	0	0.18	9.05	10.75	8.11, 4.76
PPC1-①-2	2010	#7.4				12.23		3.12
PPC1-②-2	2010	#7.4	0.49	0.13	8.86	12.60		3.68
PPC1-③-2	2010	#7.4				11.92		2.89
PPC2-①-2	2013	#7.4				16.89		2.95
PPC2-②-2	2013	#7.4	0.35	0.18	12.93	16.13		2.74
PPC3-③-2	2010	#1.1	0.68	0.22	12.46	17.19		2.33
RC1-①-2	2010	#7.4	— *2)	0	0.13	8.86	12.44	4.48
RC2-①-2	2013	#7.4	— *2)	0	0.18	12.83	15.60	3.62

*1) 各供試体名は次のとおりである: PPC2-③-1

はりのグレード: T-4によるグループ

*2) RCはりは、非緊張のPC鋼材を主筋として配置したRCはり

*3) $\lambda = (A_p \cdot f_{py}) / (A_s \cdot f_{sy}) + (A_t \cdot f_{ty}) / (b \cdot d_s \cdot f_c')$

表2 PPCはりの残存プレストレス

供試体名	プレストレス導入時				最 間 時					
	計算値				実験値					
導入荷重プレ ストレス(Tf)	コンクリート 下限強度 (kg/cm ²)	残存プレ ストレス (Tf)	プレストレ ス量(t)	鉄筋引張 ストレス(Tf)	コンクリート 下限強度 (kg/cm ²)	下限耐力 減少量 (kg/cm ²)	ひびわれ再開口 (発生荷重 (Tf))	コンクリート 下限強度 (kg/cm ²)	下限耐力 減少量 (kg/cm ²)	
PPC1-①-1	3.41	28.2	3.10	0.31	1.12	9.8	18.4	(2.02)	10.1	18.1
PPC1-②-1	3.38	28.0	3.06	0.32	1.15	8.8	19.2	0.25	8.8	19.2
PPC1-③-1	3.41	27.9	3.09	0.32	1.15	9.0	18.9	0.25	8.8	19.1
PPC2-①-1	3.71	24.1	3.42	0.29	1.77	-0.1	24.2	(1.74)	-2.4	26.5
PPC2-③-1	3.75	28.6	3.42	0.29	1.81	-0.8	28.4	0.0	0.0	28.6
PPC3-③-1	7.67	58.7	6.53	1.14	1.77	29.1	29.6	0.50	17.6	41.1
PPC1-①-2	3.40	27.4	3.09	0.31	1.12	9.7	17.7	(2.87)	12.2	15.2
PPC1-②-2	3.44	29.8	3.12	0.32	1.16	9.1	20.7	0.23	5.7	24.1
PPC1-③-2	3.41	28.6	3.09	0.32	1.15	9.0	19.6	0.23	5.7	22.9
PPC2-①-2	3.68	21.8	3.39	0.29	1.76	-0.2	22.0	(2.23)	-8.2	30.0
PPC2-③-2	3.74	26.5	3.45	0.29	1.80	-0.9	27.4	0.27	6.4	20.1
PPC3-③-2	7.67	58.7	6.53	1.14	1.77	29.1	29.6	0.75	18.4	40.3

*4) () はひびわれ発生荷重を示す。

3. 試験結果および考察

- 1) 残存プレストレス；表2にひびわれ再開口荷重または曲げひびわれ発生荷重から求めた断面下縁部コンクリートの残存プレストレスの実測値および計算値¹⁾を示す。なお、後者は鉄筋コンクリート断面の乾燥収縮ひずみおよびクリープ係数を用い、鉄筋を有しない通常のPC断面の場合と同様の方法で算出したものであり、計算にあたっては土木学会コンクリート標準示方書(昭和61年制定)を参考にして、コンクリートの乾燥収縮ひずみ=270×10⁻⁶、クリープ係数=3.1とした。これらより、計算値と実測値はおむね一致していることがわかる。またPPC1に較べ鉄筋量が多い(λの小さい)PPC2では、コンクリートの乾燥収縮・クリープによるプレストレス力の鉄筋への移行量が大きいため、下縁部コンクリートのプレストレスがほとんど消失していることが認められる。なお、持続載荷荷重レベルによる顕著な差異はほとんど認められなかった。

2) 最大耐力・破壊性状；グループ1のはりはすべて曲げ破壊を呈し、一方、グループ2のはりはすべてせん断圧縮破壊を呈した。しかし、最大耐力はいずれも終局曲げ強度理論による計算値を上回っている。また短期材令での載荷試験結果との比較により、設計荷重レベル以下の持続荷重載荷およびその後の長期間放置による影響は認められず、鉄筋腐食等による耐力低下はなかったものと思われる(表1参照)。

3) 最大ひびわれ幅；荷重-最大ひびわれ幅(P-W_{max})関係を図2に示す。長期間放置されたはりは短期材令で載荷したものよりも同一荷重に対するW_{max}が大きくなり、プレストレス損失の影響がうかがえる。また、持続荷重レベルが死荷重レベルと設計荷重レベルのはりを比較すると、設計荷重付近(3tf)までは前者の方がW_{max}は小さくなるが設計荷重以降ではむしろその逆の傾向を示すことがうかがえる。これは持続荷重が死荷重レベルでは、はりはひびわれを生じておらず、設計荷重付近での新たなひびわれ発生にともなう応力ジャンプによるものと考えられる。一方、W_{max}が0.15mm程度までは緊張率λが最も大きなPPC3が同一荷重に対するW_{max}が最も小さくなる傾向を示すものの、PPC1、PPC2ではコンクリート下縁部のプレストレスがほとんど消失しているため、それぞれ対応するRC1、RC2と顕著な差異は認められない。

4) たわみ性状およびじん性率；荷重-たわみ(P-δ)関係の一例を図3に示す。持続荷重レベルが死荷重レベルのはりではひびわれを生じていないため初期ひびわれ発生荷重までの部材剛性が若干高くなるものの、持続荷重レベルに よりフォーリングプランチ領域を含めたP-δ性状に顕著な差異は認められない。一方、表1よりじん性率は緊張率λの増加により低下する傾向が認められ、またせん断卓越型のa/d=2.0としたグループ2の方がa/d=3.0としたグループ1よりもじん性率が小さくなることが示された。

参考文献：1) K.Okada, K.Kobayashi & H.Hatamura; Effect of Supplementary Reinforcement on Flexural and Longterm Behaviors in Unbonded Prestressed Concrete Beams, Proc. of FIP Sym. on Partial Prestressing and Practical Construction in Prestressed and Reinforced Concrete, Romania, 1980

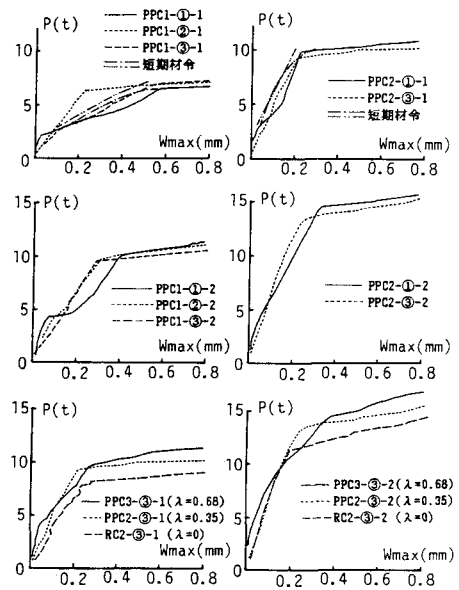


図2 荷重-最大ひびわれ幅関係

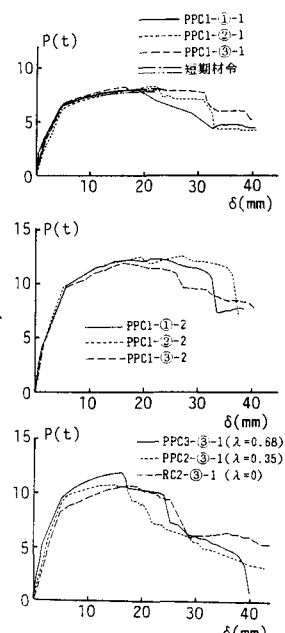


図3 荷重-たわみ関係の一例